

I. Contexte : domaine de l'information quantique

Les avancées technologiques mènent à des phénomènes et propriétés spécifiquement quantiques, où le traitement du signal peut contribuer, par exemple sur des problématiques de détection [1] ou d'estimation [2] sur des signaux bruités opérant dans un cadre quantique. Ici pour illustration :

- Pour l'estimation d'une phase quantique, un protocole exploitant la **Transformée de Fourier (TF) quantique** est introduit.
- Via l'**intrication**, l'estimation atteint une performance inaccessible en classique avec une erreur quadratique décroissant en $1/N^2$ plutôt qu'en $1/N$.
- La performance d'estimation est aussi analysée en **présence de bruit ou décohérence quantique**.

II. Transformée de Fourier quantique

• Soit les états quantiques dans un espace de Hilbert \mathcal{H}_N de dim. N sur \mathbb{C} . Les N vecteurs d'état $|j\rangle \in \{|0\rangle, |1\rangle, \dots, |N-1\rangle\}$ forment une base orthonormée de \mathcal{H}_N , avec pour TF

$$|j\rangle \mapsto |\tilde{j}\rangle = \frac{1}{\sqrt{N}} \sum_{k=0}^{N-1} \exp(i2\pi \frac{jk}{N}) |k\rangle.$$

Les N vecteurs $\{|\tilde{j}\rangle\} = \{|\tilde{0}\rangle, |\tilde{1}\rangle, \dots, |\tilde{N-1}\rangle\}$ forment une autre base orthonormée de \mathcal{H}_N . Les deux bases sont reliées par $|\tilde{j}\rangle = U_F |j\rangle$ via la matrice $N \times N$ symétrique unitaire U_F de terme générique $[\exp(i2\pi jk/N)]/\sqrt{N}$.

• La **TF inverse** est définie par : $|\tilde{j}\rangle \mapsto |j\rangle = \frac{1}{\sqrt{N}} \sum_{k=0}^{N-1} \exp(-i2\pi \frac{jk}{N}) |\tilde{k}\rangle$,

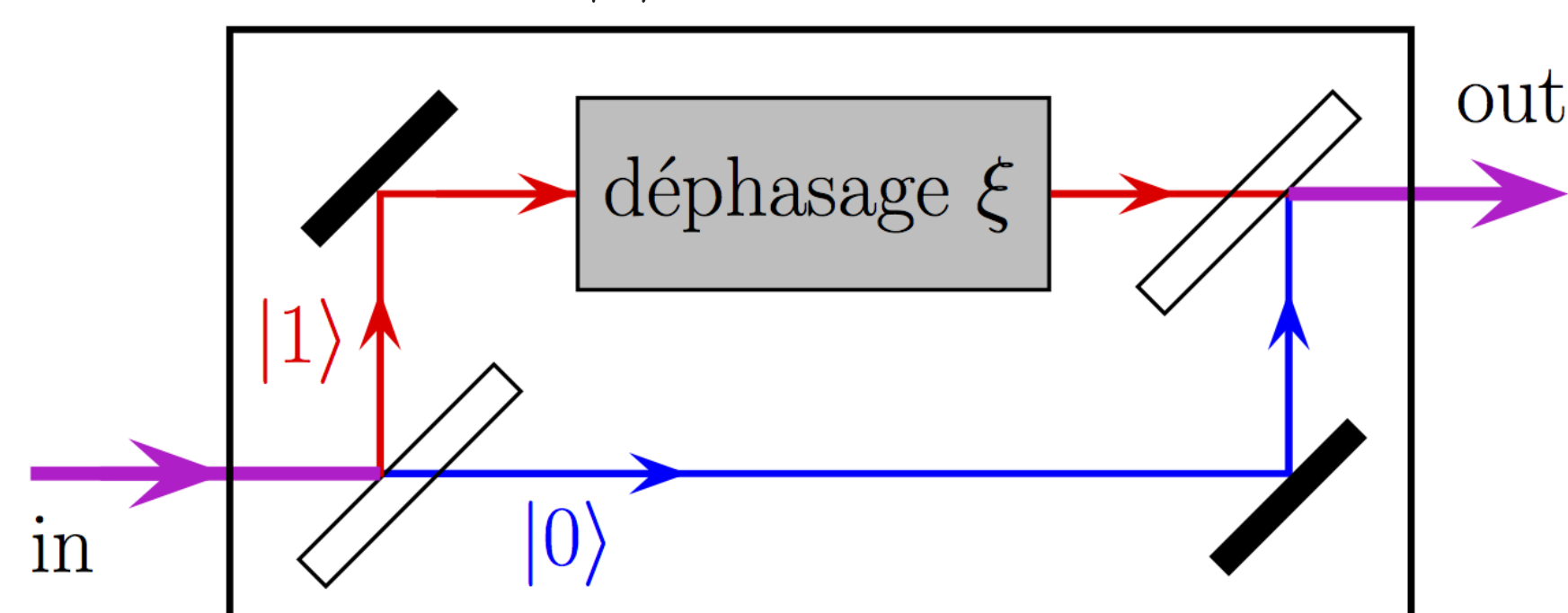
ou bien $|j\rangle = U_F^\dagger |\tilde{j}\rangle$ car $U_F^{-1} = U_F^\dagger$ la matrice adjointe.

• Les états quantiques sont souvent constitués à partir d'un système élémentaire : le **qubit** qui un système quantique à deux états de base (les deux états de polarisation d'un photon ou de spin d'un électron) existant dans \mathcal{H}_2 rapporté à la base orthonormée canonique $\{|0\rangle, |1\rangle\}$, avec les vecteurs d'état $|0\rangle = [1, 0]^T$ et $|1\rangle = [0, 1]^T$ de \mathcal{H}_2 .

III. TF et estimation de phase quantique

• Considérons un processus quantique opérant sur le qubit, représenté par l'opérateur unitaire $U_\xi = |0\rangle\langle 0| + e^{i2\pi\xi} |1\rangle\langle 1| = \begin{bmatrix} 1 & 0 \\ 0 & e^{i2\pi\xi} \end{bmatrix}$.

• On veut alors estimer le déphasage $\xi \in [0, 1[$ du processus U_ξ , déphasage qui peut être réalisé par un interféromètre optique, qui pour un photon à 2 états de polarisation laisse invariant un état de référence $|0\rangle$ et ajoute un déphasage sur l'autre état $|1\rangle$.



• **Signal d'excitation** : des états quantiques à $N-1$ qubits ($N \geq 2$), notés $|\bar{k}\rangle$, tels que $|\bar{k}\rangle = \underbrace{|0\rangle \dots |0\rangle}_{N-1} \underbrace{|1\rangle \dots |1\rangle}_k = |0 \dots 0 1 \dots 1\rangle$. Les N états $\{|\bar{k}\rangle\}$ forment une base

orthonormée d'un sous-espace \mathcal{H}'_N de dim. N de l'espace de Hilbert $\mathcal{H}_{2^{N-1}} = \mathcal{H}_2^{\otimes(N-1)}$ de dim. 2^{N-1} des $N-1$ qubits. Les $N-1$ qubits préparés dans l'état conjoint $|\bar{k}\rangle$ sont successivement appliqués en entrée du processus U_ξ , on obtient en sortie un état à $N-1$ qubits résultant de la transformation $|\bar{k}\rangle \mapsto U_\xi^{\otimes(N-1)} |\bar{k}\rangle = \exp(i2\pi k\xi) |\bar{k}\rangle$.

• La **superposition quantique** permet de placer les $N-1$ qubits d'entrée dans un état superposé

$$|\psi_{in}\rangle = \sum_{k=0}^{N-1} a_k |\bar{k}\rangle, \quad (1)$$

avec les coefficients $a_k \in \mathbb{C}$ normalisés par $\sum_{k=0}^{N-1} |a_k|^2 = 1$.

• Ce **signal d'excitation** $|\psi_{in}\rangle \in \mathcal{H}'_N$ produit, avec $j\xi = N\xi$, la transformation entrée-sortie

$$|\psi_{in}\rangle \mapsto \sum_{k=0}^{N-1} a_k \exp(i2\pi \frac{j\xi k}{N}) |\bar{k}\rangle = |\tilde{\psi}_\xi\rangle, \quad (2)$$

• Pour traiter l'état de sortie $|\tilde{\psi}_\xi\rangle \in \mathcal{H}'_N$ pour estimer la phase $\xi \rightarrow$ **TF inverse**

$$U_F^\dagger |\tilde{\psi}_\xi\rangle = |\psi_\xi\rangle = \sum_{j=0}^{N-1} a'_j |\tilde{j}\rangle, \quad (3)$$

avec les coefficients $a'_j = \frac{1}{\sqrt{N}} \sum_{k=0}^{N-1} a_k \exp(i2\pi \frac{(j\xi - j)k}{N})$.

• Dans l'Éq. (1), avec une superposition d'entrée uniforme où les $a_k = 1/\sqrt{N}$, et une phase $\xi \in [0, 1[$ inconnue donnant $j\xi = N\xi = j_0$, on aurait $a'_j = \delta_{jj_0}$ et $|\psi_\xi\rangle = |\tilde{j}_0\rangle$ dans l'Éq. (3). **En mesurant $|\psi_\xi\rangle$ on a ainsi la possibilité de connaître précisément la phase $\xi = j_0/N$.**

• Dans le cas générique d'une phase ξ avec $j\xi = N\xi$ non entier, pour l'état $|\psi_\xi\rangle \in \mathcal{H}'_N$ à $N-1$ qubits de l'Éq. (3), on envisage une mesure quantique consistant à projeter l'état $|\psi_\xi\rangle$ dans la base orthonormée des N états $\{|\tilde{k}\rangle\}$. On a alors la probabilité $P_j = |a'_j|^2$ de mesurer l'état $|\psi_\xi\rangle$ sur le vecteur de base $|\tilde{j}\rangle$ pour $j = 0$ à $N-1$.

• Pour un j donné par la mesure, on estime la phase par l'estimateur $\hat{\xi} = j/N$ donnant \rightarrow erreur quadratique moyenne d'estimation $e^2(\hat{\xi}) = \langle (\hat{\xi} - \xi)^2 \rangle = \sum_{j=0}^{N-1} (\xi - j/N)^2 P_j$, \rightarrow avec une périodicité selon la phase ξ , l'erreur alternative [4] $e_s^2(\hat{\xi}) = \frac{1}{\pi^2} \langle \sin^2[\pi(\hat{\xi} - \xi)] \rangle$.

• Cas de l'entrée uniforme avec $a_k = 1/\sqrt{N}$, on calcule $e_s^2(\hat{\xi}) = \frac{1}{\pi^2 N} \sin^2(\pi N\xi)$.

On retrouve bien l'erreur nulle escomptée quand $N\xi = j_0$ entier. Quand la résolution N est grande, l'erreur e_s^2 est faible et $e^2(\hat{\xi}) \approx e_s^2(\hat{\xi}) \sim 1/N$.

• **Décroissance de l'erreur en $1/N$ en mesurant N qubits séparément \rightarrow performance analogue en estimation statistique classique.**

IV. Avec de l'intrication quantique

• Le signal d'excitation $|\psi_{in}\rangle$ à $N-1$ qubits : un **état intriqué**, et possibilité d'**optimiser l'intrication** via des a_k quelconques minimisant l'erreur d'estimation $e_s^2(\hat{\xi})$.

On établit $e_s^2(\hat{\xi}) = \frac{1}{2\pi^2} \left(1 - \sum_{k=1}^{N-2} |a_k| |a_{k+1}| \right)$, avec minimisation pour des a_k tels que $a_k = \sqrt{\frac{2}{N}} \sin\left(\pi \frac{k}{N}\right)$. En évaluant les probabilités $P_j = |a'_j|^2$, on obtient l'erreur $e_s^2(\hat{\xi}) = \frac{1}{\pi^2} \sin^2\left(\frac{\pi}{2N}\right)$. Quand N est grand \rightarrow l'erreur e_s^2 faible et l'erreur quadratique moyenne d'estimation $e^2(\hat{\xi}) \approx e_s^2(\hat{\xi}) \approx 1/(4N^2)$.

• **Décroissance de l'erreur en $1/N^2 \rightarrow$ bénéfice purement quantique dû à l'intrication** comme montrés dans [5, 6, 7], ou dans [8, 2] pour la résistance au bruit.

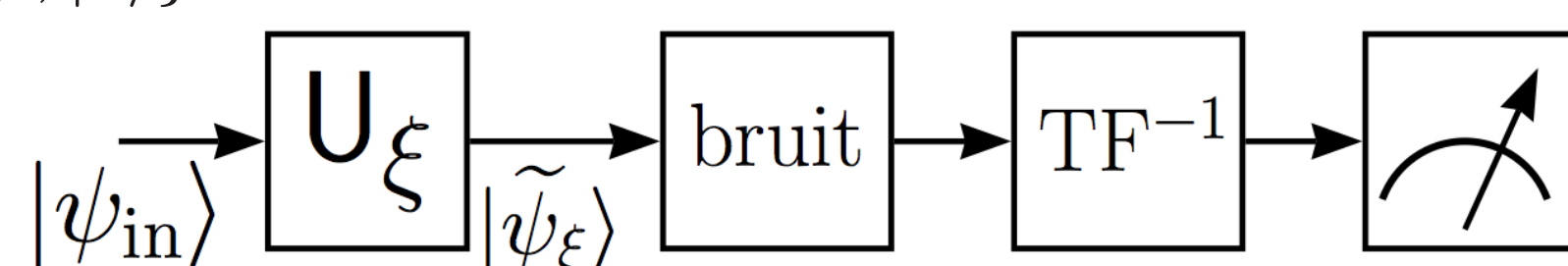
V. Avec du bruit ou décohérence quantique

• **Bruit quantique** : bruit de phase-flip renversant aléatoirement la phase quantique, formalisé avec l'opérateur unitaire de Pauli $\sigma_z = |0\rangle\langle 0| - |1\rangle\langle 1|$.

Qubit d'état pur initial $|\phi\rangle = \alpha_0 |0\rangle + \alpha_1 |1\rangle \rightarrow$ **état mélangé**, équivalent à un ensemble statistique de deux états $\{(|\phi\rangle, 1-p), (\sigma_z |\phi\rangle, p)\}$, avec p la probabilité du bruit de phase-flip.

• Les statistiques de mesure peuvent être décrites par un opérateur densité $\rho = (1-p)|\phi\rangle\langle\phi| + p\sigma_z |\phi\rangle\langle\phi| \sigma_z$ représentant le qubit bruité [3, 9]. La probabilité de mesurer le qubit bruité sur un état $|\phi'\rangle$ est donnée par $\langle\phi'|\rho|\phi'\rangle$.

• **Schéma du protocole de mesure** : le signal d'entrée $|\psi_{in}\rangle$ à $N-1$ qubits intriqués excite le processus U_ξ dont on veut estimer la phase ξ à partir du signal de sortie $|\tilde{\psi}_\xi\rangle$ possiblement affecté par bruit de phase-flip. On réalise une TF inverse, puis on mesure chacun des $N-1$ qubits dans la base $\{|0\rangle, |1\rangle\}$.



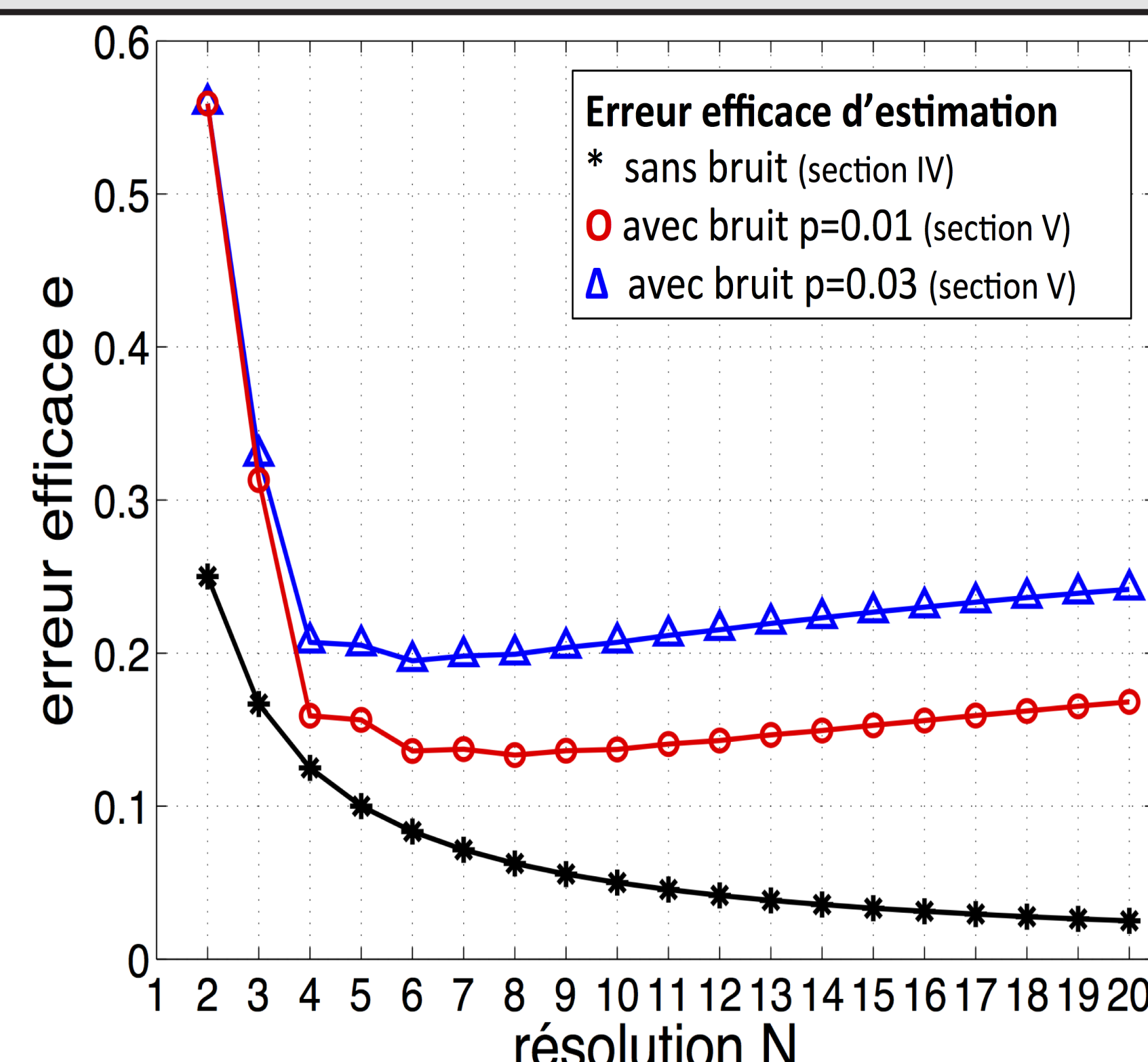
• On obtient l'erreur $e^2(\hat{\xi}) = \langle (\hat{\xi} - \xi)^2 \rangle = \sum_{j=0}^{N-1} (\xi - j/N)^2 P_j$, avec la probabilité P_j de projeter sur l'état $|\tilde{j}\rangle$ telle que $P_j = \sum_{\ell=1}^{2^{N-1}} |c_j(\ell)|^2 P'_\ell$ (voir l'article).

• Effet du bruit quantique sur la performance

\rightarrow **Sans bruit** : intrication uniformément toujours bénéfique.

\rightarrow **Avec bruit** : propriété importante du signal intriqué. **Comportement non trivial avec un optimum de la taille N (entre 6 et 8) pour l'intrication.**

Ce type d'optimum de l'intrication en présence de bruit est aussi observé dans [5, 10, 11] pour d'autres scénarios de métrologie ou d'estimation.



Références bibliographiques

- [1] F. Chapeau-Blondeau, "Détection quantique optimale sur un qubit bruité," *Actes du 25ème Colloque GRETSI*, Lyon, 8–11 sep. 2015.
- [2] N. Gillard, E. Belin, F. Chapeau-Blondeau, "Estimation quantique en présence de bruit améliorée par l'intrication," *Actes du 26ème Colloque GRETSI*, Juan-les-Pins, 5–8 sep. 2017.
- [3] M. A. Nielsen, I. L. Chuang, *Quantum Computation and Quantum Information*. Cambridge: Cambridge University Press, 2000.
- [4] Z. Ji, G. Wang, R. Duan, Y. Feng, M. Ying, "Parameter estimation of quantum channels," *IEEE Transactions on Information Theory*, vol. 54, pp. 5172–5185, 2008.
- [5] S. F. Huelga, C. Macchiavello, T. Pellizzari, A. K. Ekert, M. B. Plenio, J. I. Cirac, "Improvement of frequency standards with quantum entanglement," *Physical Review Letters*, vol. 79, pp. 3865–3868, 1997.
- [6] G. M. D'Ariano, P. Lo Presti, M. G. A. Paris, "Using entanglement improves the precision of quantum measurements," *Physical Review Letters*, vol. 87, pp. 270404, 1–4, 2001.
- [7] V. Giovannetti, S. Lloyd, L. Maccone, "Quantum-enhanced measurements: Beating the standard quantum limit," *Science*, vol. 306, pp. 1330–1336, 2004.
- [8] F. Chapeau-Blondeau, "Entanglement-assisted quantum parameter estimation from a noisy qubit pair: A Fisher information analysis," *Physics Letters A*, vol. 381, pp. 1369–1378, 2017.
- [9] F. Chapeau-Blondeau, "Optimization of quantum states for signaling across an arbitrary qubit noise channel with minimum-error detection," *IEEE Transactions on Information Theory*, vol. 61, pp. 4500–4510, 2015.
- [10] P. Kok, J. Dunningham, J. F. Ralph, "Role of entanglement in calibrating optical quantum gyroscopes," *Physical Review A*, vol. 97, pp. 012326, 1–10, 2017.
- [11] F. Chapeau-Blondeau, "Optimized entanglement for quantum parameter estimation from noisy qubits," *International Journal of Quantum Information*, vol. 16, pp. 1850056, 1–25, 2018.